



V703

## Das Geiger-Müller-Zählrohr

Pelle Ofenbach  
pelle.ofenbach@udo.edu

Robert Appel  
robert.appel@udo.edu

Durchführung: 23.05.17

Abgabe: 30.05.17

# Inhaltsverzeichnis

<b>1</b>	<b>Theorie</b>	<b>3</b>
<b>2</b>	<b>Durchführung</b>	<b>3</b>
<b>3</b>	<b>Auswertung</b>	<b>3</b>
3.1	Charakteristik des Zählrohrs . . . . .	3
3.2	Beobachtung der Nachentladungen und Bestimmung der Totzeit . . . . .	3
3.3	Bestimmung der Totzeit mit der Zwei-Quellen-Methode . . . . .	5
3.4	Bestimmung der freigesetzten Ladungsmenge . . . . .	5
<b>4</b>	<b>Diskussion</b>	<b>7</b>
	<b>Literatur</b>	<b>7</b>

# 1 Theorie

## 2 Durchführung

## 3 Auswertung

### 3.1 Charakteristik des Zählrohrs

Um die Charakteristik des Zählrohrs zu untersuchen wir zu erst die Zählrate

$$N_m = N \pm \sqrt{N} \quad (1)$$

bestimmt und mit Fehlerbalken in ein Diagramm (s. Abb. 1) eingetragen. Dabei bezeichnet  $N_m$  die gemessenen Zerfälle. Daraus kann dann die Auslösespannung  $U_e = 470 \text{ V}$  entnommen werden. Weiter muss nun das *Plateau* [1] bestimmt werden, da dieses den Arbeitsbereich des Zählrohrs kennzeichnet. Auf diesem Bereich des Graphen wird dann eine Ausgleichsgerade

$$f(x) = a \cdot x + b$$

berechnet. Daraus ergibt sich, dass die Steigung  $a$  im Plateau

$$a = (5,5 \pm 0,6) \text{ V}^{-1} \quad \text{oder} \quad a \approx 1,39 \% \text{ V}^{-1}$$

beträgt. Der y-Abschnitt  $b$  beträgt dabei

$$b = (4,63 \pm 0,03) \cdot 10^4 .$$

Alle Werte dazu sind in den Tabellen 1 und 2

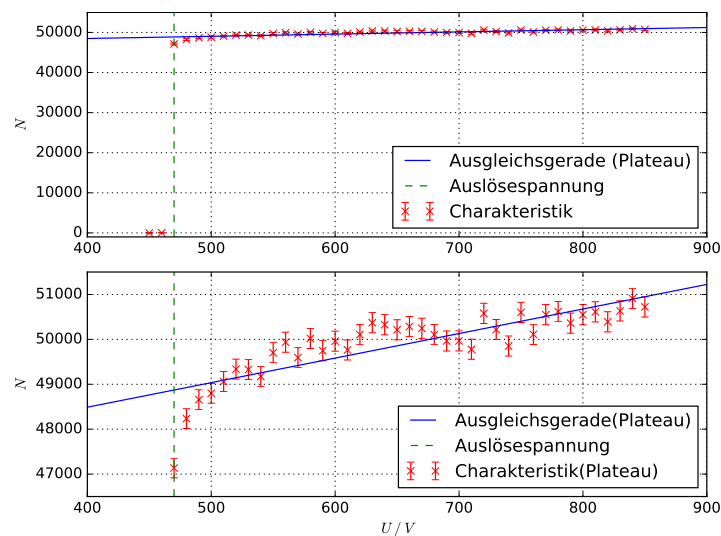


Abbildung 1: Charakteristik des Zählrohr; Zerfälle  $N$  gegen die Spannung  $U$  aufgetragen.

### 3.2 Beobachtung der Nachentladungen und Bestimmung der Totzeit

Bei der Messung der Totzeit mit einem Oszilloskop ist diese einfach abzulesen. Die Totzeit  $t_T$  wurde für verschiedene Spannungen bestimmt und gemittelt. Somit ergibt sich

$$t_T = (232 \pm 8) \mu\text{s} .$$

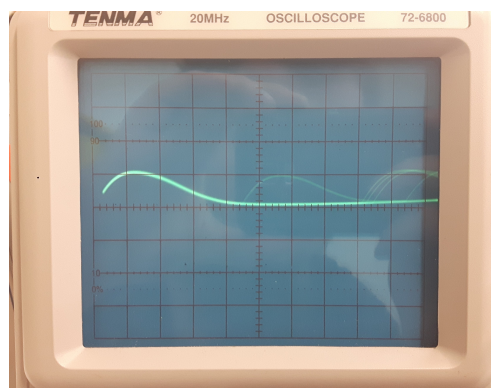
Bei der Messung der Totzeit ist auf dem Oszilloskop ein Graph wie in Abbildung 2 zu sehen. Der Abfall und somit die Todzeit ist gut zu erkennen. Die während der Erholungszeit auftretende Impuls können auf die Nachentladungen zurückgeführt werden.

**Tabelle 1:** Spannungen U und Zählraten N mit Fehler im Überblick(1).

$U/V$	$N \pm \sqrt{N}$
450	0 $\pm$ 0
460	30 $\pm$ 5
470	47 134 $\pm$ 217
480	48 235 $\pm$ 220
490	48 657 $\pm$ 221
500	48 799 $\pm$ 221
510	49 062 $\pm$ 221
520	49 338 $\pm$ 222
530	49 327 $\pm$ 222
540	49 176 $\pm$ 222
550	49 704 $\pm$ 223
560	49 937 $\pm$ 223
570	49 593 $\pm$ 223
580	50 021 $\pm$ 224
590	49 748 $\pm$ 223
600	49 960 $\pm$ 224
610	49 764 $\pm$ 223
620	50 106 $\pm$ 224
630	50 371 $\pm$ 224
640	50 327 $\pm$ 224
650	50 213 $\pm$ 224

**Tabelle 2:** Spannungen U und Zählraten N mit Fehler im Überblick (2).

$U/V$	$N \pm \sqrt{N}$
660	50 286 $\pm$ 224
670	50 246 $\pm$ 224
680	50 106 $\pm$ 224
690	49 964 $\pm$ 224
700	49 966 $\pm$ 224
710	49 780 $\pm$ 223
720	50 579 $\pm$ 225
730	50 218 $\pm$ 224
740	49 852 $\pm$ 223
750	50 601 $\pm$ 225
760	50 111 $\pm$ 224
770	50 551 $\pm$ 225
780	50 619 $\pm$ 225
790	50 362 $\pm$ 224
800	50 550 $\pm$ 225
810	50 613 $\pm$ 225
820	50 391 $\pm$ 224
830	50 634 $\pm$ 225
840	50 911 $\pm$ 226
850	50 723 $\pm$ 225



**Abbildung 2:** Bild vom Graphen des Oszilloskop bei der Messung der Totzeit (1 Kästchen horizontal = 50  $\mu$ s).

### 3.3 Bestimmung der Totzeit mit der Zwei-Quellen-Methode

Aus der Versuchsanleitung [1] wird der Zusammenhang

$$t_T \approx = \frac{N_1 + N_2 - N_{1+2}}{2N_1N_2}$$

entnommen. Dabei bezeichnet  $N_1$  die Zählrate des einen Präperats und  $N_2$  die des anderen Präperats folglich bezeichnet  $N_{1+2}$  die Zählrate für die Messung bei der beide Präparate gleichzeitig verwendet wurden. Werden nun für die Zählraten die selben Fehler angenommen wie in Gleichung (1) dann folgt

$$t_T = (3,0 \pm 0,9) \mu\text{s} .$$

### 3.4 Bestimmung der freigesetzten Ladungsmenge

Es gilt der Zusammenhang

$$I = \frac{\Delta Q}{\Delta t} \cdot Z ,$$

dabei bezeichnet  $\Delta Q$  die Ladungsmenge,  $\Delta t$  die Messzeit (hier:  $\Delta t = 60\text{ s}$ ) und  $Z$  die Anzahl der registrierten Teilchen. Die Ladungsmenge ergibt sich also mit

$$\frac{I \cdot \Delta t}{Z} = \Delta Q .$$

Die Ladungsmenge kann auch über die Elementarladung  $e$  [2] ausgedrückt werden mit

$$M = \frac{\Delta Q}{e} .$$

Alle Werte und Ergebnisse dazu sind in der Tabelle 3 dargestellt.

**Tabelle 3:** Strom  $I$ , Anzahl der Teilchen  $Z$ , Ladungsmenge  $\Delta Q$  und die Ladungsmenge ausgedrückt über die Elementarladung im Überblick.

$I/V$	$Z$	$\Delta Q/C$	$\Delta Q/e$
$0,20 \cdot 10^{-6}$	30	$4,00 \cdot 10^{-7}$	$249,66 \cdot 10^{10}$
$0,40 \cdot 10^{-6}$	47 134	$5,09 \cdot 10^{-10}$	$0,32 \cdot 10^{10}$
$0,40 \cdot 10^{-6}$	48 235	$4,98 \cdot 10^{-10}$	$0,31 \cdot 10^{10}$
$0,60 \cdot 10^{-6}$	48 657	$7,40 \cdot 10^{-10}$	$0,46 \cdot 10^{10}$
$0,60 \cdot 10^{-6}$	48 799	$7,38 \cdot 10^{-10}$	$0,46 \cdot 10^{10}$
$0,70 \cdot 10^{-6}$	49 062	$8,56 \cdot 10^{-10}$	$0,53 \cdot 10^{10}$
$0,80 \cdot 10^{-6}$	49 338	$9,73 \cdot 10^{-10}$	$0,61 \cdot 10^{10}$
$0,90 \cdot 10^{-6}$	49 327	$1,09 \cdot 10^{-9}$	$0,68 \cdot 10^{10}$
$1,00 \cdot 10^{-6}$	49 176	$1,22 \cdot 10^{-9}$	$0,76 \cdot 10^{10}$
$1,00 \cdot 10^{-6}$	49 704	$1,21 \cdot 10^{-9}$	$0,75 \cdot 10^{10}$
$1,20 \cdot 10^{-6}$	49 937	$1,44 \cdot 10^{-9}$	$0,90 \cdot 10^{10}$
$1,20 \cdot 10^{-6}$	49 593	$1,45 \cdot 10^{-9}$	$0,91 \cdot 10^{10}$
$1,20 \cdot 10^{-6}$	50 021	$1,44 \cdot 10^{-9}$	$0,90 \cdot 10^{10}$
$1,30 \cdot 10^{-6}$	49 748	$1,57 \cdot 10^{-9}$	$0,98 \cdot 10^{10}$
$1,40 \cdot 10^{-6}$	49 960	$1,68 \cdot 10^{-9}$	$1,05 \cdot 10^{10}$
$1,40 \cdot 10^{-6}$	49 764	$1,69 \cdot 10^{-9}$	$1,05 \cdot 10^{10}$
$1,60 \cdot 10^{-6}$	50 106	$1,92 \cdot 10^{-9}$	$1,20 \cdot 10^{10}$
$1,60 \cdot 10^{-6}$	50 371	$1,91 \cdot 10^{-9}$	$1,19 \cdot 10^{10}$
$1,80 \cdot 10^{-6}$	50 327	$2,15 \cdot 10^{-9}$	$1,34 \cdot 10^{10}$
$1,80 \cdot 10^{-6}$	50 213	$2,15 \cdot 10^{-9}$	$1,34 \cdot 10^{10}$
$1,90 \cdot 10^{-6}$	50 286	$2,27 \cdot 10^{-9}$	$1,41 \cdot 10^{10}$
$2,00 \cdot 10^{-6}$	50 246	$2,39 \cdot 10^{-9}$	$1,49 \cdot 10^{10}$
$2,20 \cdot 10^{-6}$	50 106	$2,63 \cdot 10^{-9}$	$1,64 \cdot 10^{10}$
$2,20 \cdot 10^{-6}$	49 964	$2,64 \cdot 10^{-9}$	$1,65 \cdot 10^{10}$
$2,20 \cdot 10^{-6}$	49 966	$2,64 \cdot 10^{-9}$	$1,65 \cdot 10^{10}$
$2,30 \cdot 10^{-6}$	49 780	$2,77 \cdot 10^{-9}$	$1,73 \cdot 10^{10}$
$2,40 \cdot 10^{-6}$	50 579	$2,85 \cdot 10^{-9}$	$1,78 \cdot 10^{10}$
$2,40 \cdot 10^{-6}$	50 218	$2,87 \cdot 10^{-9}$	$1,79 \cdot 10^{10}$
$2,60 \cdot 10^{-6}$	49 852	$3,13 \cdot 10^{-9}$	$1,95 \cdot 10^{10}$
$2,80 \cdot 10^{-6}$	50 601	$3,32 \cdot 10^{-9}$	$2,07 \cdot 10^{10}$
$2,80 \cdot 10^{-6}$	50 111	$3,35 \cdot 10^{-9}$	$2,09 \cdot 10^{10}$
$3,00 \cdot 10^{-6}$	50 551	$3,56 \cdot 10^{-9}$	$2,22 \cdot 10^{10}$
$3,00 \cdot 10^{-6}$	50 619	$3,56 \cdot 10^{-9}$	$2,22 \cdot 10^{10}$
$3,00 \cdot 10^{-6}$	50 362	$3,57 \cdot 10^{-9}$	$2,23 \cdot 10^{10}$
$3,20 \cdot 10^{-6}$	50 550	$3,80 \cdot 10^{-9}$	$2,37 \cdot 10^{10}$
$3,20 \cdot 10^{-6}$	50 613	$3,79 \cdot 10^{-9}$	$2,37 \cdot 10^{10}$
$3,40 \cdot 10^{-6}$	50 391	$4,05 \cdot 10^{-9}$	$2,53 \cdot 10^{10}$
$3,40 \cdot 10^{-6}$	50 634	$4,03 \cdot 10^{-9}$	$2,51 \cdot 10^{10}$
$3,60 \cdot 10^{-6}$	50 911	$4,24 \cdot 10^{-9}$	$2,65 \cdot 10^{10}$
$3,80 \cdot 10^{-6}$	50 723	$4,50 \cdot 10^{-9}$	$2,81 \cdot 10^{10}$

## 4 Diskussion

### Literatur

- [1] TU Dortmund. *Versuch Nr.703 - Das Geiger-Müller-Zählrohr*. 2014.
- [2] Eric Jones, Travis E. Oliphant, Pearu Peterson u. a. *SciPy: Open source scientific tools for Python*. Version 0.16.0. URL: <http://www.scipy.org/>.